

開水路流れの乱れに関するスケールの特性について

京都大学防災研究所 正員 今本博健
大林組 正員 ○本庄正史

乱れに関する各種のスケールは乱流場を構成する種々の大きさの渦の特性を表現する場合の有効な概念であって、乱れの定性的特徴を把握するための重要な役割を果すものである。開水路流れのように、流れの場が有限な乱流場においては、乱れのスケールもまた有限性と何らかの関係を有するものと考えられるが、このような考え方にはTaylor⁽¹⁾による“風洞気流には定まった大きさの渦の存在する実験的な理由が存在するが、自然風にはそのような理由が実験的に存在しない”という指摘に結びつくものであると言えよう。

本研究においては、乱れ特性を代表する平均スケールおよび逆散スケールを取り上げ、乱流場の有限性を表す幾何学的条件ならびにReynolds数などの水理条件との関係について、ホットフィルム流速計による乱れ計測により実験的に解明しようとするものである。

1. 実験装置および方法

実験水路は長さ10m、幅25cm、深さ35cmのビニール樹脂製滑面直線水路であって、路床こう配は1/500に設定した。乱れ計測はホットフィルム流速計によって行なった。速度の変動はホットフィルム流速計により電気的変動に変換され、磁気テープレコーダーに記録されるようになっている。磁気テープに記録されたアナログ量はA-D変換器によってデジタル量に変換される。なお、サンプリング周波数およびデーター数は、それぞれ、100 cpsおよび500個とした。

2. 実験結果および考察

1) 乱れの平均スケール：乱れの平均スケール Λ は乱れの自己相関係数 $R(t)$ より次式によって定義される。すなわち、Taylorの“frozen turbulence”的定義を用いると、

$$\Lambda = \bar{u} \int_0^\infty R(t) dt \quad (1)$$

ここに、 \bar{u} は平均流速を表す。実際の乱れ計測においては、計測時間を無限にとることができないため、(1)式の積分の上限値を∞にとることはできず、有限値で置き換えるなどの方法が取られる。開水路流れの乱れに関する相関係数は、図-1にみられるように、単純な関数形でもって表わすことはできないため、平均スケールを正確に求めることはきわめて困難である。このため

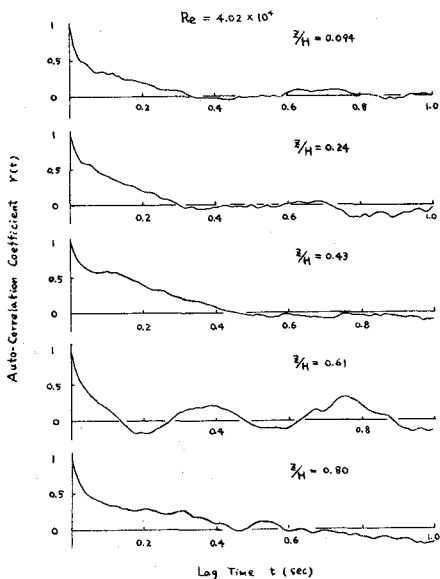


図-1 自己相関係数 断面測定 (水路中央部)

図-2 平均スケール入および平均波長スケールと相対水深 \bar{z}/H との関係

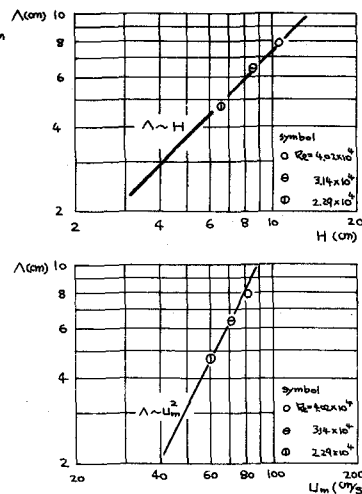
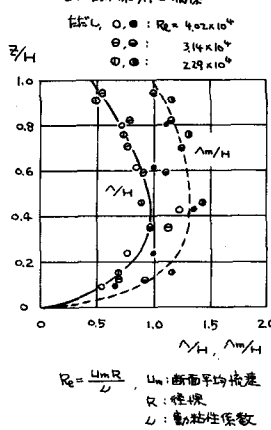


図-4 時間的逸散スケールと相対水深 \bar{z}/H との関係

$$\text{式: } \bar{\tau}^2 = \left(\frac{1 - R(\bar{t})}{\bar{t}} \right)_{\bar{t}=0.01}$$

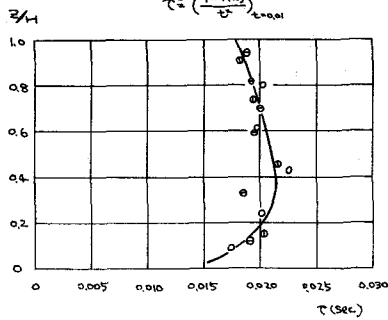


図-3 平均スケール入および水深 H における断面平均流速 U_m の関係

本研究においては、相対係数に指數関数形を当ぼめることにより計算される平均スケール入のほかに、エネルギースペクトル実数 $s(f)$ より

$$f_m = \frac{\int_0^{f_{max}} f s(f) df}{\int_0^{f_{max}} s(f) df}, \quad L_m = \frac{\bar{U}}{f_m} \quad f_{max}: \text{スペクトル計算における最高周波数} \quad (2)$$

によって計算される平均波長的なスケール L_m によって、平均スケールの特性を考察することとした。図-2はこのようにして得られた入および L_m と相対水深 \bar{z}/H との関係を示したものであるが、これより L/H あるいは L_m/H は \bar{z}/H の関数であつて、 \bar{z}/H が 0.4~0.5付近で最大値となることがわかる。また、図-3に見られるように、入の水深平均値入は水深 H および断面平均流速 U_m との間に、それぞれ、 $L \sim H$ 、 $L \sim U_m$ の関係が成立し、岩佐・今本の Kolmogoroff の相似則にもとづく関係式ならびに Rudi's³⁾の Froude 数と Strouhal 数との関係式 $1/\bar{f}_m \sim Fr$ ($St = \frac{f_m H}{\bar{U}}$, $Fr = \frac{\bar{U}}{\sqrt{g} H}$, f_m : 单屈周波数) が確かめられた。

2) 逸散スケール: 亂れエネルギーの逸散過程を特徴づける逸散スケール入は、自己相關関数 $R(t)$ より次式によつて定義される。

$$\frac{1}{\bar{\tau}^2} = \lim_{t \rightarrow 0} \frac{1 - R(t)}{t^2} \quad \lambda = \bar{U} \bar{\tau} \quad (3)$$

本研究においては、(3)式の $\lim_{t \rightarrow 0}$ の代りに、 $\Delta t = 0.01 \text{ sec}$ における相対係数の値より時間的逸散スケール入を計算することとした。計算結果を図-4に示す。図-4に見られるように、三種の水理条件においていずれもてほぼ 0.02 sec 程度となり、相対水深によつてわずかに変化するのみで Reynolds 数にはほとんど関係しないことがわかる。したがつて、水流においては乱れエネルギーの逸散は路床近傍を除いてほぼ 50 cps の渦によつて特徴づけられるこになる。ただし、本研究の計算方法はてを過大評価する傾向があるため、50 cps という周波数はやや過小であることに注意しなければならぬ。

参考文献 1) Taylor, G.I.; Statistical Theory of Turbulence, Proc. Lond. Math. Soc., A164, 1935.

2) Iwasa, Y., Imamura, H.; Some Features of Turbulent Diffusive Processes in Open Channel Flow, Memoirs, Fac. Eng., Kyoto Univ., Vol. 28-1, 1966.

3) Rudi's M., Smalek, R.; Relations between Turbulence Characteristics and Hydrodynamic Parameters of the Shear Flow, ACTA Technica, Vol. 11, 1960.